Boletim Técnico da Escola Politécnica da USP Departamento de Engenharia Eletrônica

ISSN 1413-2206

BT/PEE/9923

Dimensionamento de Unidades Remotas de Sistemas VSAT

Claudio Trápaga F. do Nascimento Filho Fatima Salete Correra O presente trabalho é um resumo da dissertação de mestrado apresentada por Claudio Trápaga Fagundes do Nascimento Filho sob orientação da Profa. Dra. Fatima Salete Correra: "Estudo e Dimensionamento de Sistemas VSAT", defendida em 07/06/99, na Escola Politécnica.

A întegra da dissertação encontra-se à disposição com o autor e na Biblioteca de Engenharia de Eletricidade da Escola Politécnica/USP.

Nascimento Filho, Claudio Trápaga Fagundes do
Dimensionamento de unidades remotas de sistemas VSAT / C.T.F.
do Nascimento Filho, F.S. Correra. -- São Paulo : EPUSP, 1999.
p. - (Boletim Técnico da Escola Politécnica da USP, Departamento de Engenharia Eletrônica, BT/PEE/9923)

 Comunicações via satélite 2. Microondas 3. VSAT I. Correra, Fátima Salete II. Universidade de São Paulo. Escola Politécnica. Departamento de Engenharia Eletrônica III. Título IV. Série

ISSN 1413-2206

CDD 621.3825 621.3813 621.3825

Dimensionamento de Unidades Remotas de Sistemas VSAT

Claudio Trápaga Fagundes do Nascimento Filho* e Fatima Salete Correra**

*RELTEC do Brasil; **Laboratório de Microeletrônica da EPUSP

Resumo: Este artigo apresenta considerações gerais sobre sistemas de comunicação via satélite tipo VSAT e propõe uma metodologia de dimensionamento das Unidades Remotas que constituem as estações terrenas nessas redes. A metodologia proposta é aplicada ao dimensionamento de Unidades Remotas VSAT localizadas nas cidades de São Paulo e Rio de Janeiro, operando na banda Ku em redes ponto-a-ponto e ponto-multiponto, empregando o satélite NAHUEL 1.

1. Introdução

Sistemas VSAT [1] são redes de comunicações via satélite utilizados para estabelecer conexões confiáveis em localidades onde a infra-estrutura convencional da operadora de telecomunicações não é adequada. A sigla VSAT deriva da denominação em inglês "Very Small Aperture Terminal", utilizada para definir os terminais remotos empregados nas estações terrestres nesse tipo de sistema.

Os Sistemas VSAT estão em fase de expansão, sendo vistos atualmente como uma plataforma de comunicação flexível, a qual permite que localidades remotas se comuniquem com uma unidade central, além de permitir a interconexão das redes locais de distribuição. A utilização de Sistemas VSAT é um método eficiente e de razoável custo-efetivo para distribuição de dados, vídeo, áudio, voz e fax através de múltiplas localidades, mantendo o mesmo nível de desempenho em todas as localidades atendidas [2].

Muitas organizações usam atualmente Sistemas VSAT por disponibilizarem uma diversidade de serviços e facilidades econômicas para todos os tipos de usuários, oferecendo uma solução de rede privada para grandes consumidores, uma solução quase-privada de sub-rede para usuários de médio porte e uma rede compartilhada para os pequenos usuários [1, 3]. Em muitos casos existe uma combinação destes três

modelos. Os Sistemas VSATs são utilizados para solucionar uma variedade de problemas encontrados na indústria e nos negócios em geral, tais como: varejo, bancários, computação, construção, agricultura, governo, manufatura/fabricação, medicina, transportes e comunicações.

A evolução dos Sistemas VSAT deve-se a uma integração bem sucedida de um certo número de avanços tecnológicos em diversas áreas, tais como: transmissão de pacotes e comutação, protocolos de acesso eficientes, microprocessadores poderosos, implementação e padronização de protocolos, miniaturização de antenas, tecnologia de espalhamento espectral, desenvolvimento de *modens* com corretores de erro (FEC - "Forward Error Corretion") e o desenvolvimento de satélites com alta potência. Dessa forma foi possível a redução do custo das Unidades Remotas VSAT, o que tornou os sistemas economicamente viável.

Neste artigo é proposta uma metodologia de dimensionamento de Unidades Remotas VSAT, que permite analisar e a dependência entre os parâmetros da mesma e especificar a antena, a figura de ruído do receptor e a potência do transmissor de forma a atender aos requisitos de desempenho do sistema e de minimização de custos.

2. Conceitos Gerais de VSAT

As Redes ou Sistemas VSAT podem ser classificadas em três categorias [1]:

- redes ponto-multiponto ou "broadcast", utilizadas para transmitir informação a um conjunto de Unidades Remotas, como no caso de distribuição de sinais de TV via satélite.
- redes ponto-a-ponto, que se caracterizam por permitir a comunicação entre duas
 Unidades Remotas, sem a utilização de uma estação "hub" de grande porte.
- redes interativas de dois caminhos ou "mesh", que utilizam topologia estrela, que oferece uma grande variedade de serviços.

A figura 1 apresenta as redes VSAT ponto-multiponto e ponto-a-ponto e a figura 2 mostra uma rede VSAT em configuração interativa de dois caminhos.

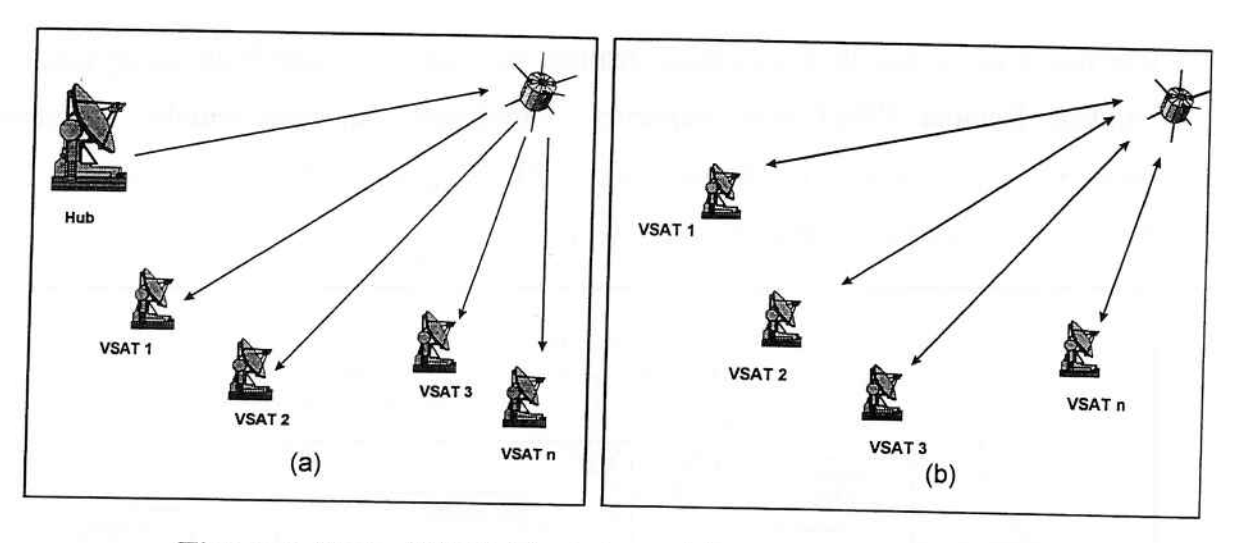


Figura 1. Redes VSAT (a) ponto-multiponto; (b) ponto-aponto.

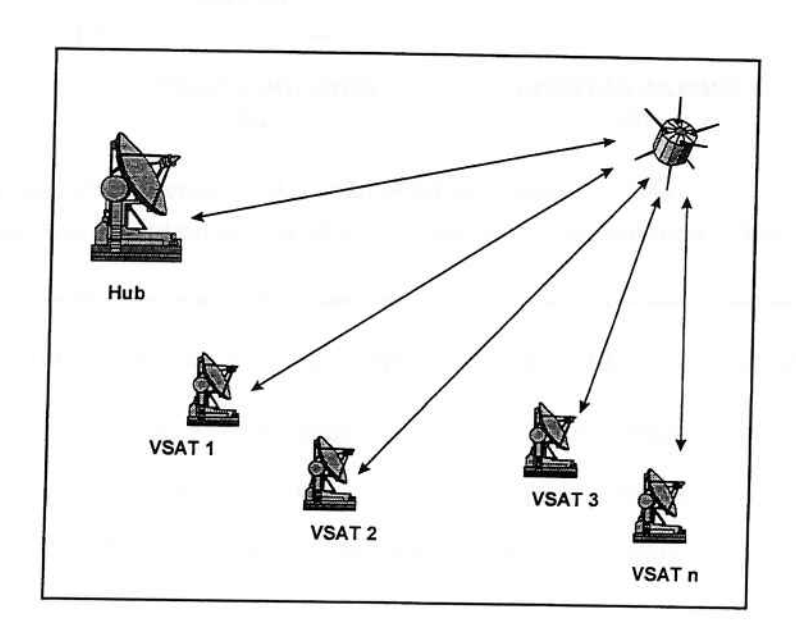


Figura 2. Sistema VSAT em configuração rede interativa de duas direções.

O segmento terrestre das redes VSAT é composto pelos seguintes sub-sistemas:

- unidade remota VSAT (VSAT 1, VSAT 2,VSAT n)
- unidade central "hub"
- unidade de gerenciamento da rede ou sistema

As Unidades Remotas VSAT podem ser definidas como estações terrestres inteligentes e de fácil instalação, que na maioria dos sistemas operam em conjunto com uma estação terrestre de grande porte denominada "hub" que realiza o gerenciamento da rede ou sistema. A Unidade Remota VSAT é responsável pela

interface entre o satélite e a estação terminal do usuário. Dependendo da aplicação a Unidade Remota VSAT pode suportar comunicação em dois sentidos, provendo serviços integrados de telecomunicações [1,3]. A figura 3 apresenta o diagrama em blocos típico de uma unidade remota VSAT.

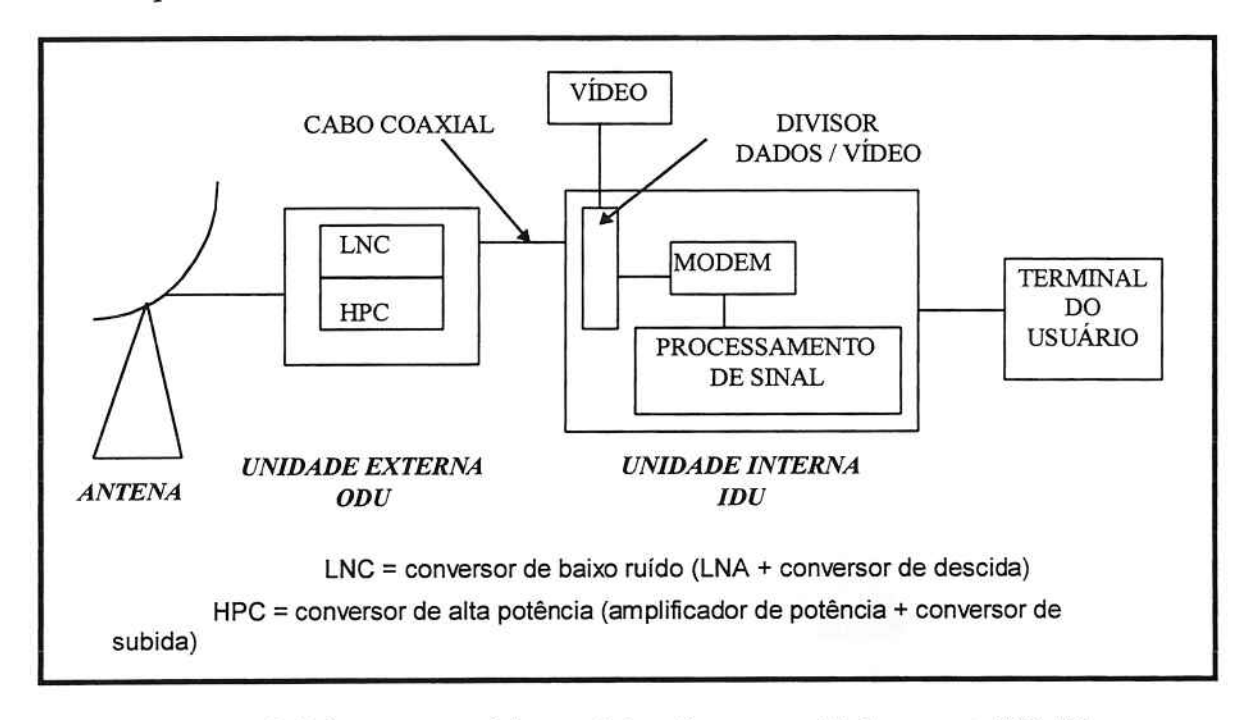


Figura 3. Diagrama em blocos típico de uma unidade remota VSAT.

A unidade remota VSAT é composta basicamente por uma antena, uma unidade externa (ODU - "outdoor unit") e uma unidade interna (IDU - "indoor unit"). A conexão entre a unidade externa e a unidade interna é feita através de um cabo coaxial.

A antena utilizada na unidade remota VSAT 'e do tipo parabólica, possuindo um diâmetro típico que varia entre 1,2 m a 1,8 m. Entretanto, em regiões onde há problemas de atenuação de sinal devido ao grande volume de chuva costuma-se utilizar antenas com diâmetro de 2,4 m ou maior. De um modo geral o tamanho da antena é definido em função da localização, condições climáticas e características do sinal a ser transmitido.

A unidade externa se constitui basicamente dos seguintes sub-sistemas: amplificador de potência - HPA, amplificador de baixo ruído - LNA e conversor de subida/descida. Na figura 3 o HPA e o conversor estão integrados em único bloco denominado HPC.

A unidade interna é instalada em um local abrigado e próximo do equipamento terminal do usuário, sendo composta pelos seguintes sub-sistemas: modulador/demodulador, processamento de sinal de banda-básica, porta de vídeo.

3. Metodologia de dimensionamento de Unidades Remotas VSAT

O dimensionamento da Unidade Remota VSAT consiste na determinação do ganho e da eficiência da antena, da potência de saída do transmissor e da figura de ruído do receptor da estação terrestre. Esses parâmetros dependem das especificações do sistema VSAT que se deseja implantar e das características do satélite de comunicações utilizado. Existem vários conjuntos de parâmetros da Unidade Remota que são capazes de atender as especificações de um dado sistema, cabendo ao projetista analisar qual deles apresenta o menor custo, garantindo a viabilidade econômica da rede VSAT.

A metodologia proposta para o dimensionamento da Unidade Remota é apresentada no fluxograma mostrado na figura 4. O satélite escolhido para a realização das simulações foi o NAHUEL1 que disponibiliza serviço VSAT para o Brasil na banda Ku (11/14 GHz). Esse satélite é propriedade da empresa argentina NAHUELSAT, a qual fornece um "software" para dimensionamento de enlaces, que foi utilizado no procedimento proposto para o dimensionamento de Unidades Remotas. Nesse "software" todos os parâmetros do satélite já são considerados, sendo que os dados das Unidades Remotas devem ser inseridos pelo usuário. O "software" fornece a relação C/N_0 total (enlace de subida + enlace de descida) do sistema.

Os dados iniciais para o dimensionamento da Unidade Remota são a taxa de erro de bit (BER) requerida pelo sistema e as características do modem utilizado. Com esses parâmetros obtém-se a relação E_b/N_0 , sendo E_b a energia média do bit transmitido e N_0 a densidade de ruído na saída do sistema.

Conhecendo-se a relação E_b/N_0 calcula-se a relação portadora/ruído total do sistema (C/N_0) total que considera os enlaces de subida e de descida, utilizando-se a equação 1 [4].

$$(C/N_0)_{\text{total}} = [E_b/N_0] + 10.\log R_{bit} + MARGEM$$
 (1)

onde,

R_{bit} taxa do sinal digital de informação [bit/s]

MARGEM margem de segurança que considera variações dos componentes do modulador, adotando-se usualmente 1 dB

Em seguida calcula-se a banda mínima em frequência que é ocupada pelo número máximo de portadoras em função do corretor de erro, tipo de modulação, rolloff e a taxa R_{bit} , utilizando a expressão apresentada na equação 2 [5].

$$BW_{oc} = R_{bit} \cdot (1/FEC) \cdot (1/n) \cdot roll-off$$
 (2)

onde,

FEC e roll-off

características conhecidas do modulador utilizado na Unidade

Remota

n

representa o mapeamento das informações de bits para as M=2ⁿ

fases possíveis do sinal modulado, por exemplo: sinal QPSK →

M= 4 fases possíveis, portanto, M= $4 = 2^n \implies n = 2$

Por questão de segurança, aloca-se uma banda de freqüência para o sistema, BW_{al} , ligeiramente maior que a banda calculada, de modo a suportar dispersões dos componentes do sistemas e evitar interferências.

Com os valores da relação (C/N_0) total do sistema e da banda alocada BW_{al} é possível calcular através de equação 3 o parâmetro (C/N_0) Total requerida, que é a relação portadora/ruído requerida pelo sistema na banda considerada.

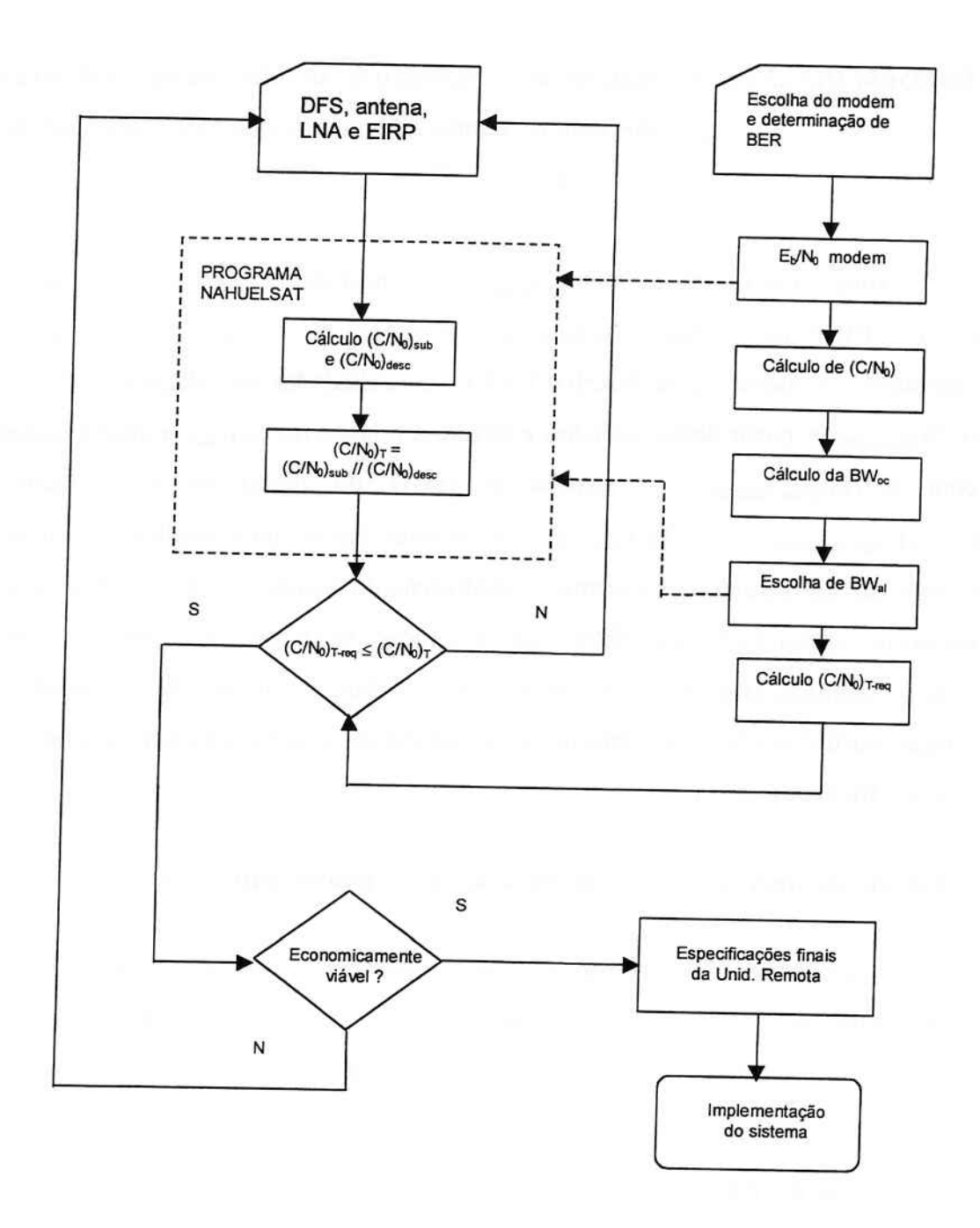


Figura 4. Fluxograma de Dimensionamento de Unidade Remota.

$$(C/N_0)_{Total\ Requerida} = (C/N_0)_{Total} + 10.\log(BW_{sat}/BW_{al}) + MARGEM\ ENLACE$$
(3)

onde,

BW_{sat} largura da banda ocupada do "transponder"

 BW_{al} largura de banda alocada para todas as portadoras ($BW_{al} \ge BW_{al}$)

MARGEM DO ENLACE margem de segurança que considera variações da antena e dos amplificadores de potência e de baixo ruído, adotando-se usualmente 1 dB

Após o cálculo de $(C/N_0)_{Total\ Requerida}$ são inseridos os dados iniciais da antena, LNA e EIRP da Unidade Remota no "software" de cálculo. Com o auxílio do "software" fornecido pela NAHUELSAT são calculadas as relações $(C/N_0)_{subida}$ e $(C/N_0)_{descida}$. A partir destas relações é obtido a relação $(C/N_0)_{Total}$ a qual é comparada com $(C/N_0)_{Total\ Requerida}$. O sistema é viável do ponto de vista técnico se $(C/N_0)_{Total\ Requerida} \leq (C/N_0)_{Total\ Requerida}$ se isto ocorrer faz-se uma análise de viabilidade econômica verificando-se os custos de realização do projeto, em função dos valores de ganho de antena e potência HPA. Caso a solução obtida não seja viável do ponto de vista econômico, isto resulta na variação dos parâmetros de entrada até de obter uma relação custo-benefício satisfatória. Se a viabilidade econômica ocorrer serão obtidas as especificações da Unidade Remota.

4. Dimensionamento de redes ponto-a-aponto e ponto-multiponto

O procedimento proposto no item anterior foi utilizado para se realizar o dimensionamento de Unidades Remotas VSAT operando com o satélite NAHUEL 1, localizadas nas cidades de São Paulo e Rio de Janeiro. Os parâmetros e as considerações empregados são apresentados a seguir:

- topologia da rede: ponto-a-ponto e ponto-multiponto.
- característica do modem da Unidade Remota : FEC = $\frac{1}{2}$, roll-off e E_b/N_0 conforme figura 5.

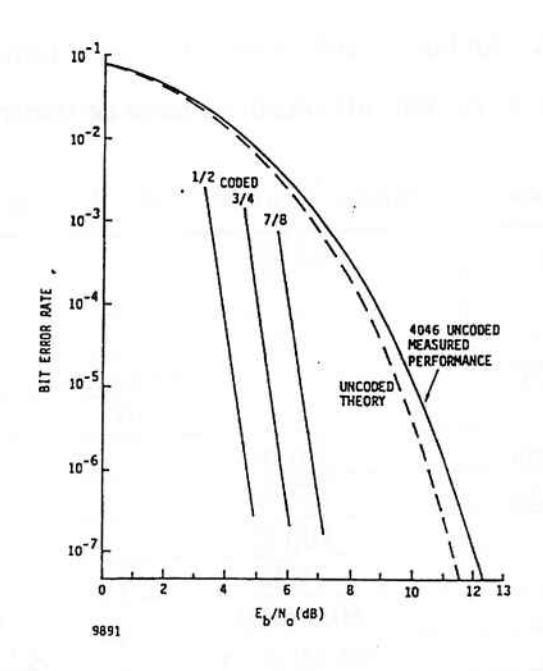


Figura 5. Curva E_b/N₀ em função de BER.

satélite : NAHUEL

1. canal 10 : freqüências de operação : f_s = 14,287 GHz e f_d = 11,987 GHz

2. largura de banda: 54 MHz

3. atenuação no enlace: 207 dB

sistema de comunicação: digital QPSK

• taxa de transmissão : R = 64 kbit/s

taxa de erro de bit : BER = 10⁻⁵

disponibilidade do enlace: 99,9%

Na Tabela 1 estão apresentados os resultados do dimensionamento de um sistema ponto-a-ponto, interligando duas Unidades Remotas VSAT, localizadas nas cidades de São Paulo e Rio de Janeiro.

Verifica-se através dos resultados apresentados na tabela 1 que as potências dos amplificadores de transmissão, HPAs, são relativamente baixas para este tipo de aplicação onde a relação C/N_{0 Total requerida} é muito alta. No mercado internacional é possível encontrar amplificadores com esse nível de potência de saída com tecnologia de estado sólido, a um custo economicamente viável. Utilizou-se antenas de alto

desempenho e LNA com baixo ruído com objetivo de diminuir as potências dos HPAs, que são os dispositivos de mais alto custo na parte de transmissão.

Parâmetro	Unidade Remota 1: SP	Unidade Remota 2: RJ
E_b/N_0	4.3 dB	4.3 dB
FEC	1/2	1/2
Roll-off	0,5	0,5
Taxa bit	64 kbit/s	
BER	10 ⁻⁵	
φ antena	3.6 m	3.6 m
η antena	67 %	67 %
T_{LNA}	100 K	100 K
Tantena	20 K	20 K
EIRP _{sat}	50.5 dBW	51 dBW
DFS _{sat}	-94 dBW/m^2	-93.5 dBW/m ²
EIRP _{UR}	73 dBW	73.3 dBW
HPA	120 W	128.5 W

Tabela 1. Resultados do dimensionamento do sistema ponto-a-ponto.

Na tabela 2 apresenta-se os resultados do dimensionamento de um sistema VSAT tipo ponto-multiponto, utilizando uma estação "hub" localizada na cidade São Paulo e duas Unidades Remotas no Rio de Janeiro. Nesse sistema utiliza-se transmissor de sinais para o satélite apenas na "hub", sendo que as Unidades Remotas operam apenas como receptoras. O efeito da operação em "broadcast" também introduz algumas considerações no satélite NAHUEL1 para o dimensionamento correto das Unidades Remotas, pois a intermodulação em frequência torna-se mais crítica. Os resultados para as Unidades Remotas 1 e 2, bem como para a estação "Hub" são apresentados na tabela 2.

Verifica-se que com o uso de uma antena com diâmetro relativamente grande na "Hub" é possível utilizar um amplificador de transmissão com potência e custo relativamente baixos. As Unidades Remotas empregam antenas com diâmetros menores, o que reduz sensivelmente o custo do sistema, principalmente quando o número de Unidades Remotas é muito grande.

Parâmetro	Unidades Remotas: RJ	Estação "Hub" : SP
E_b/N_0	4.3 dB	4.3 dB
FEC	1/2	1/2
roll-off	0,5	0,5
Taxa bit	64 kbit/s	
BER	10 ⁻⁵	
φ antena	2.4 m	7 m
η antena	63 %	63 %
T _{LNA}	100 K	-
Tantena	35 K	20 K
EIRP _{sat}	51 dBW	
DFS _{sat}		-94 dBW/m ²
HPA	_	31,7 W

Tabela 2. Resultados do dimensionamento do sistema ponto-multiponto.

5. Conclusões

Concluindo, podemos dizer que foi proposta uma metodologia de dimensionamento de Unidades Remotas VSAT, a qual permite especificar a antena, o amplificador de baixo ruído e o amplificador de transmissão em função das especificações do sistema, uma vez que sejam conhecidas as características do satélite utilizado. A metodologia proposta foi aplicada ao dimensionamento de redes VSAT ponto-a-ponto e ponto-multiponto operando na banda Ku e utilizando o satélite NAHUEL 1, resultando em soluções de sistema economicamente viáveis.

Referências bibliográficas

- [1] RANA, A.H.; MCCOSKEY, J.; CHECK, H. VSAT technology, Trends and Applications. Proceedings of the IEEE, v.78, n.7, p.1087-1095, July 1990.
- [2] BUCHS, J.D. Competitive Communications Networks Using VSATs. Telecommunications, p. 37-42, December 1990.
- [3] CHAKRABORTY, D. VSAT Communications Networks-An Overview. IEEE Communications Magazine, v. 26, n.5, p. 10-23, May 1988.
- [4] Kamilo FEHER Digital Communications Satellite/Earth Station Engineering. Prentice-Hall Inc., 1983.
- [5] DIOGO, O.A. e NASCIMENTO, J.R.C. Comunicações Digitais via Satélite. UNISAT – Eng. De Telecomunicações Ltda., 1992.

BOLETINS TÉCNICOS - TEXTOS PUBLICADOS

- BT/PEE/9301 Oscilador a HEMT 10 GHz FÁTIMA S. CORRERA, EDMAR CAMARGO
- T/PEE/9302 Representação Senoidal da Voz através dos Polos do Filtro Preditor MARCELO B. JOAQUIM, NORMONDS ALENS
- BT/PEE/9303 Blindagens por Grades Condutoras: Cálculo do Campo Próximo LUIZ CEZAR TRINTINALIA, ANTONIO ROBERTO PANICALI
- BT/PEE/9304 Sistema de Otimização e Controle de Produção em Minas de Pequeno e Médio Porte TSEN CHUNG KANG, VITOR MARQUES PINTO LEITE
- BT/PEE/9401 Determinação das Frases de Aplicação Forense para o projeto NESPER e Tese de Mestrado IME/94, com Base em Estudos Fonéticos - MARCONI DOS REIS BEZERRA, EUVALDO F. CABRAL JUNIOR
- BT/PEE/9402 Implementação e Teste de uma Rede Neural Artificial do Tlpo KSON (Kohonen Self-Organizing Network) com Entradas Bidimensionais MARCELO YASSUNORI MATUDA, EUVALDO F. CABRAL JR.
- BT/PEE/9403 Transformada de Walsh e Haar Aplicadas no Processamento de Voz ALEXANDRE AUGUSTO OTTATI NOGUEIRA, THIAGO ANTONIO GRANDI DE TOLOSA, EUVALDO F. CABRAL JÚNIOR
- BT/PEE/9404 Aplicação de Redes Neurais ao Problema de Reconhecimento de Padrões por um Sonar Ativo ALEXANDRE RIBEIRO MORRONE, CRISTINA COELHO DE ABREU, EDUARDO KOITI KIUKAWA, EUVALDO F. CABRAL JR.
- BT/PEE/9405 Tudo que se Precisa Saber sobre a Prática da FFT Transformada Rápida de Fourier (Inclui Software) ROGÉRIO CASAGRANDE, EUVALDO F. CABRAL JR.
- BT/PEE/9406 A Survey on Speech Enhancement Techniques of Interest to Speaker Recognition CELSO S. KURASHIMA, EUVALDO F. CABRAL JR.
- BT/PEE/9407 Identificação de Pulsos Decádicos em Linhas Telefônicas ANTONIO P. TIMOSZCZUK, MÁRCIO A. MATHIAS, EUVALDO F. CABRAL JR.
- BT/PEE/9408 Implementação e Teste de Filtros do Tipo Adaptativo e ©Notchª para a Remoção de Interferência de 60 Hz em Sinais de Eletrocardiograma FLÁVIO ANTÔNIO MENEGOLA, JOSÉ AUGUSTO DE MATTOS, JOSÉ GOMES G. FILHO, SIDNEY SILVA VIANA, EUVALDO F. CABRAL JR.
- BT/PEE/9409 Compressão de Sinais de Voz utilizando Transformadas de Karhunen-Loève, Fourier e Hadamard IVAN LUIS VIEIRA, LUIZ FERNANDO STEIN WETZEL, EUVALDO F. CABRAL JR.
- BT/PEE/9410 @Ray Tracingª Paralelo EDUARDO TOLEDO SANTOS, JOÃO ANTONIO ZUFFO
- BT/PEE/9411 Implementação de uma Ferramenta Posicionador para ©Gate-Arraysª Tipo Mar de Portas JORGE W. PERLAZA PRADO, WILHELMUS A. M. VAN NOIJE
- BT/PEE/9412 Tudo que se Precisa Saber Sobre a Teoria da FFT Transformada Rápida de Fourier FÁBIO LUÍS ROMÃO, REINALDO SILVEIRA, ROGÉRIO CASAGRANDE, EUVALDO CABRAL JR.
- BT/PEE/9413 Análise do Ruído Sonoro em uma Sala de Aquisição de Amostras de Som com Microcomputador FÁBIO LUÍS ROMÃO, REINALDO SILVEIRA, EUVALDO CABRAL JR.
- BT/PEE/9414 Cor: Aspectos Relevantes para Visualização de Dados SÍLVIA DELGADO OLABARRIAGA
- BT/PEE/9415 Projeto de Filtros Digitais IIR com Fase Aproximadamente Linear Utilizando Redução de Ordem IVAN F. J. RODRIGUES, MAX GERKEN
- BT/PEE/9416 GERAFILTRO: Sistema para Projeto Automático de Filtros Digitais ©IIRª (da especificação em alto nível ao leiaute do ©ASICª) RICARDO PIRES, JOSÉ VIEIRA DO VALE NETO
- BT/PEE/9417 Redes Neurais Artificiais Aplicadas à Identificação de Pulsos Decádicos em Linhas Telefônicas ANTONIO P. TIMOSZCZUK, EUVALDO F. CABRAL JR.
- BT/PEE/9501 Estudo Comparativo de Métodos de Cálculo da Frequência Fundamental MARCOS COSTA HUNOLD, EUVALDO F. CABRAL JR.
- BT/PEE/9502 Combinando Técnicas de Redes Neurais Artificiais e Informações de Excitação no Reconhecimento Automático do Locutor ANDRÉ BORDIN MAGNI, EUVALDO F. CABRAL JR.
- BT/PEE/9503 Utilização de Redes Neurais Artificiais para Detecção e Identificação de Falhas em Circuitos MÁRCIO YUKIO TERUYA, ROBERTO AMILTON BERNARDES SÓRIA, EUVALDO CABRAL JR.
- BT/PEE/9504 Uso de Redes Neurais Artiificiais no Reconhecimento de Locutores no Domínio Temporal BENEDITO JOSÉ BARRETO FONSECA JÚNIOR, EUVALDO CABRAL JÚNIOR
- BT/PEE/9505 Projeto de Filtros Passivos e Ativos em Técnicas de Circuitos Integrados de Microondas DAVID VIVEIROS JÚNIOR, DENISE CONSONNI
- BT/PEE/9506 Uma Análise de Clustering para as Frases de Projeto NESPER RONALDO OLIVEIRA MESSINA, EUVALDO F. CABRAL JR.
- BT/PEE/9507 Controle com Estrutura Variável e Modos Deslizantes Um Estudo para Aplicação em Controle Cargafrequência da Geração - JOSE PAULO F. GARCIA, JOCELYN FREITAS BENNATON

- BT/PEE/9508 Recuperação das Margens de Ganho e de Fase para Sistemas de Fase Não Minima por Realimentação da Saída MARCO H. TERRA, VITOR M. P. LEITE
- BT/PEE/9509 Sistema de Inspeção Óptica de Dispositivos Bi-Dimensionais CASIMIRO DE ALMEIDA BARRETO, PEDRO LUÍS PRÓSPERO SANCHEZ
- T/PEE/9510 Sistema de Partículas Uma Poderosa Técnica de Animação em Computação Gráfica RENATO CURTO RODRIGUES, JOÃO ANTÔNIO ZUFFO
- BT/PEE/9511- Efeito de Ruídos em Sinais de Voz Visualizados em Trajetórias Neurais de Kohonen CELSO S. KURASHIMA, EUVALDO F. CABRAL JR.
- BT/PEE/9601 "Um Reconhecedor de Sinais Sonoros Utilizando LVQ" ALEXANDRE TORNICE, EUVALDO CABRAL JR.
- BT/PEE/9602 "Coleção Artificial Neural Networks: Uma Visão Geral dos Sistemas Neurais Artificais de Stephen Grossberg" CHIU HSIUNG HUANG
- BT/PEE/9603 "Reactively-Sputtered TiN Formation Using a RF Magnetron System"- SÉRGIO PAULO AMARAL OSÓRIO, LUIZ SÉRGIO ZASNICOFF
- BT/PEE/9604 Aspectos em Tradução de Linguagens Naturais Através de Redes Neurais Artificiais CARLOS EDUARDO DANTAS DE MENEZES, EUVALDO F. CABRAL JR.
- BT/PEE/9605 Implementação de Blocos Passa-Tudo Utilizando Realimentação de Erro SÉRGIO JOSÉ CARNEIRO LEÃO, MAX GERKEN
- BT/PEE/9606 Coleção SANN group Redes Neurais Artificiais: A Rede Neural de Sakoe ANDRÉ BORDIN MAGNI, EUVALDO F. CABRAL JR.
- BT/PEE/9607 Coleção SANN group Redes Neurais Artificiais: A Rede Neural de Steinbuch ROBERTO AMILTON BERNARDES SÓRIA, EUVALDO F. CABRAL JR.
- BT/PEE/9608 Desenvolvimento de uma Estrutura de Duplo Nivel de Metal para a Confecção de Interconexões em Circuitos Integrados JOSÉ AUGUSTO DE ALENCAR PEREIRA, LUIZ CARLOS MOLINA TORRES
- BT/PEE/9609 Determinação de Parâmetros de Processo para Fotomáscara "Balzers" Utilizando Gerador de Padrões JORGE SEKI, MEGUMI SAITO
- BT/PEE/9610 Um Ambiente para Desenvolvimento de Sistemas Distribuídos PEDRO F. ROSA, JOÃO A. ZUFFO
- BT/PEE/9611 Interpretações Teóricas do Funcionamento Cerebelar: Uma Revisão MARCUS FRAGA VIEIRA, ANDRÉ FÁBIO KOHN
- BT/PEE/9612 Marcapasso Cardíaco Temporário Microcontrolado de Demanda e Baixo Consumo FLAVIO ANTONIO MENEGOLA, JOSÉ CARLOS TEIXEIRA DE BARROS MORAES
- BT/PEE/9613 Um Sistema de Planejamento de Ação Baseado em Casos para uma Célula Flexível de Manufatura RICARDO LUÍS DE FREITAS, MÁRCIO RILLO
- BT/PEE/9614 Aplicações do Boundary-Scan para o Teste de Módulos Multichip ROBERTO C. COSSI JR., JOSÉ ROBERTO DE A. AMAZONAS
- BT/PEE/9615 A 2.488 Gb/s GaAs 1:4/1:16 Demultiplexer IC with Skip Circuit for Sonet STS-12/48 Systems TAUFIK ABRÃO, FATIMA S. CORRERA
- BT/PEE/9616 Uma Contribuição para a Construção de Algoritmos em Projetos de Redes ALLAN DE SOUZA, JOSÉ ROBERTO CASTILHO PIQUEIRA
- BT/PEE/9617 Análise Crítica dos Métodos de Medição do Intervalo QT do Eletrocardiograma SÍDNEY DA SILVA VIANA, JOSÉ CARLOS TEIXEIRA DE BARROS MORAES
- BT/PEE/9618 Deposição e Caracterização de Filmes de SiO2 Crescidos pela Técnica de PECVD a Baixa Temperatura MARCO ALAYO CHÁVEZ, INÉS PEREYRA
- BT/PEE/9619 PARSTOOL: Uma Ferramenta de Auxílio à Simulação de Sistemas Paralelos LI KUAN CHING, LIRIA MATSUMOTO SATO
- BT/PEE/9620 Análise de um Método de Otimização por Malha no Treinamento de Robôs OLÍMPIO MURILO CAPELI, JOSÉ CARLOS T. B. MORAES, SADAO ISOTANI
- BT/PEE/9701 Identification of Unstable Mechanical Systems ROBERTO MOURA SALES, ANSELMO BITTAR, MICHAEL PORSCH, LAÉRCIO LUCCHESI
- BT/PEE/9702 Analysis of the Subthreshold Slope Transition Region in SOI nMOSFET VICTOR SONNENBERG, JOĀO ANTONIO MARTINO
- BT/PEE/9703 Introduction of the SOI MOSFET Dimensions in the High-Temperature Leakage Drain Current Model MARCELO BELLODI, JOÃO ANTONIO MARTINO, DENIS FLANDRE
- BT/PEE/9704 Controle de Largura de Banda Dinâmica para Transmissões Multicast para Redes de Alta Velocidade SANG SOON LEE, SERGIO TAKEO KOFUJI
- BT/PEE/9705 Uma Modificação Proposta para o Controle Preditivo Generalizado com Filtro de Kalman JAIME QUINTERO R., OSWALDO L. V. COSTA
- BT/PEE/9706 Aplicações de Redes Neurais em Previsões Financeiras OLÍMPIO MURILO CAPELI, EUVALDO F. CABRAL JR.

- BT/PEE/9707 Sistema Microcontrolado, Multicanal e Portátil para Estimulação Neuromuscular Funcional ROGÉRIO QUIARIM ZARZA, JOSÉ CARLOS TEIXEIRA DE BARROS MORAES
- BT/PEE/9708 Requisitos para o Mapeamento Tecnológico em Projetos de Microeletrônica LUCIANO DE OLIVEIRA CORRÊA DE BRITO, JOSÉ ROBERTO DE ALMEIDA AMAZONAS
- BT/PEE/9709 Sistemas PRMA com Dados Acoplados JOSÉ AUGUSTO DE LIMA, PAUL JEAN ETIENNE JESZENSKY
- BT/PEE/9710 Algoritmos Genéticos (AG's) para a Otimização de Controladores Nebulosos JULIO CESAR CEBALLOS AYA, OSWALDO L. V. COSTA
- BT/PEE/9711 Um Estudo Sobre a Redução de Ruídos em Sinais Caóticos ERNANE JOSÉ XAVIER COSTA, EUVALDO F. CABRAL JR.
- BT/PEE/9712 Geradores não Lineares de Sequência para uso em Sistemas Spread Spectrum ANGEL ANTONIO GONZALEZ MARTINEZ, PAUL JEAN ETIENNE JESZENSZKY
- BT/PEE/9713 Modelamento Físico do Sistema Heteroestrutura Metal CECÍLIA WETTERLE RODRIGUES, MEGUMI SAITO
- BT/PEE/9714 Tensões Induzidas em Linhas Aéreas por Descargas Atmosféricas Indiretas Modelagem e Aplicação ao Cálculo de Interrupções ALEXANDRE PIANTINI, JORGE M. JANISZEWSKI
- BT/PEE/9715 RECMAP Uma Ferramenta para Otimização em Síntese de Alto Nível Baseada em Reconhecimento Funcional e Mapeamento de Componentes ANDRÉ GERHARD, JOSÉ VIEIRA DO VALE NETO
- BT/PEE/9716 Estudo da Sinterização de Contatos Al/Ti por Recozimento Térmico Rápido Visando a Aplicação em Circuitos Integrados ANGELO EDUARDO BATTISTINI MARQUES, ROGÉRIO FURLAN
- BT/PEE/9717 Mixed H2/H- Control of Discrete-Time Markovian Jump Linear Systems OSWALDO L. V. COSTA, RICARDO P. MARQUES
- BT/PEE/9718 Aluminium Etching with CCI4-N2 Plasmas ANGELA MAKIE MAKAZAWA, PATRICK VERDONCK
- BT/PEE/9719 O Uso de Resistes Amplificados Quimicamente e de Sililação em Litrografia por Feixe de Elétrons ANTONIO C. SEABRA, PATRICK B. VERDONCK
- BT/PEE/9720 Implementação de um Simulador de um Circuito Neuro-Medular que Atua no Controle da Força Motora LUIZ JURANDIR SIMÕES DE ARAÚJO,ANDRÉ FÁBIO KOHN
- BT/PEE/9721 Avaliação das Características Físico-Químicas e Elétricas de Filmes de SiO2 Depositados por PECVD a Patir da Reação entre O2 e TEOS ALVARO ROMANELLI CARDOSO E CLAUS MARTIN HASENACK
- BT/PEE/9722 Controle e Simulação Dinâmica de Colunas de Destilação: Aplicação Prática em uma Coluna com Refluxo por Gravidade
- BT/PEE/9723 Circuitos de Portas Lógicas Primitivas Implementados a Partir de uma Classe de Lógicas Paraconsistentes Anotadas JOÃO INÁCIO DA SILVA FILHO, JAIR MINORO ABE, PEDRO LUÍS PRÓSPERO SANCHEZ
- BT/PEE/9724 Lattice Heating and Energy Balance Consideration on the I-V Characteristics of Submicrometer Thin-Film Fully Depleted SOI NMOS Devices CLAUDIA BRUNETTI, NELSON L. A. BRAGA, LUIZ S. ZASNICOFF
- BT/PEE/9725 Identificação de um Processo de Neutralização de pH via Redes Neurais SILVIO FLABOREA, CLAUDIO GARCIA
- BT/PEE/9726 Uma Estratégia de Migração de Sistemas de Telefonia Movél com Tecnologia AMPS para a Tecnologia CDMA RONALD LUÍS CLARKSON EISNER, PAUL JEAN ETIENNE JESZENSKY
- BT/PEE/9727 Controle de pH Usando Conceitos de Invariantes de Reações e Geometria Diferencial OSCAR A. ZANABARIA S., CLAUDIO GARCIA
- BT/PEE/9728 Estudo da Influência dos Parâmetros de Recozimento Térmico Rápido na Morfologia dos Filmes de TiSi2 Formados e sua Correlação com a Tensão Mecânica SILVANA GASPAROTTO DE SOUZA, ARMANDO ANTONIO MARIA LAGANÁ, SEBASTIÃO GOMES DOS SANTOS FILHO
- BT/PEE/9729 Analysis of Silicon Surface Microirregularities by LASER Ligght Scattering JOSÉ CÂNDIDO DE SOUSA FILHO, SEBASTIÃO GOMES DOS SANTOS FILHO
- BT/PEE/9730 Wavelets in Music Analysis and Synthesis: Timbres Analysis and Perspectives REGIS ROSSI ALVES FARIA, RUGGERO ANDREA RUSCHIONI, JOÃO ANTONIO ZUFFO
- BT/PEE/9731 Estudo de Efeitos Mútuos da Distribuição de Corrente em Condutores AUGUSTO CARLOS PAVÃO, JORGE MIECZYSLAW JANISZEWSKI
- BT/PEE/9801 Equivalência entre a Semântica da Lógica de Transações e a Semântica de sua Implementação Prolog PAULO E. SANTOS, FLÁVIO S. C. DA SILVA
- BT/PEE/9802 Nash Game in Mixed H2/Hoo Control Theory a Convex Optimization Approach- HELENICE OLIVEIRA FLORENTINO, ROBERTO MOURA SALES
- BT/PEE/9803 Text-Independent Speaker Recognition Using Vector Quantization and Gaussian Mixture Models THOMAS E. FILGUEIRAS F°., RONALDO O. MESSINA E EUVALDO F. CABRAL JR.
- BT/PEE/9804 Elementos Piezoresistivos para Sensores de Pressão com Tecnologia CMOS LUIZ ANTONIO RASIA, E. C. RODRIGUEZ

- BT/PEE/9805 Automação do Processo de Casamento de Impedância em Sistemas de Aquecimento por Microondas J. C. DE SOUZA, J. T. SENISE, V. C. PARRO, F. M. PAIT
- BT/PEE/9806 Considerações para o Projeto de Células de Memória SI com Transistores HEMT JAIME H. LASSO, EDGAR CHARRY R.
- BT/PEE/9807 Covariance Controller with Structure Constraint and Closed Loop H Bound ANTÔNIO CARLOS DE LIMA, ROBERTO MOURA SALES
- BT/PEE/9808 Controle Unidimensional de Objetos: Uma Aplicação Prática em Fresadora Automática MÁRCIO A. F. MURATORE, OSWALDO L. V. COSTA
- BT/PEE/9809 Redes Neurais com Retardos Temporais Aplicadas ao Reconhecimento Automático do Locutor ROGÉRIO CASAGRANDE, EUVALDO F. CABRAL JR.
- BT/PEE/9810 Topological Computation and Voluntary Control HENRIQUE SCHÜTZER DEL NERO, JOSÉ ROBERTO CASTILHO PIQUEIRA, ALFREDO PORTINARI MARANCA
- BT/PEE/9811 Casamento de Impedância em Guia de Onda Retangular Utilizando como Variável Medida a Potência Refletida J. C. DE SOUZA JR., J. T. SENISE
- BT/PEE/9812 Applied Surface Science RONALDO D. MANSANO, PATRICK VERDONCK, HOMERO S. MACIEL
- BT/PEE/9813 Contribuição ao Estudo da Morfologia da Superfície e da Interface do Siliceto de Titânio Formado sobre Si (100) Empregando a Técnica de Microscopia de Força Atômica (AFM) N. M. HASAN, A. A. M. LAGANÁ, S. G. SANTOS FILHO
- BT/PEE/9814 Estudo Experimental da Tensão Mecânica em Filmes Finos de Cobre Obtidos por Evaporação ou Deposição Eletroquímica Espontânea A. I. HASHIMOTO, S. G. FILHO
- BT/PEE/9815 Controle Híbrido de Manipuladores Robóticos WEBER ALLEGRINI, JOSÉ JAIME DA CRUZ
- BT/PEE/9816 Entropia Informacional e Cronobiologia ANA AMÉLIA BENEDITO SILVA, JOSÉ ROBERTO CASTILHO PIQUEIRA
- BT/PEE/9817 Estabilidade de Lyapunov e Controle de Atitude FERNANDO SOUSA, FREITAS JÚNIOR, PAULO SÉRGIO PEREIRA DA SILVA
- BT/PEE/9818 Projeto de um Conversor de Frequências Resistivo em Tecnologia MMIC CLÁUDIA C. A. APARÍCIO, DENISE CONSONNI
- BT/PEE/9819 Estudo de Sensibilidade de um Sistema de Modulação Digital via Simulação RONALDO DI MAURO, LUIZ ANTONIO BACCALÁ
- BT/PEE/9820 Engenharia do Conhecimento Aplicada ao Conhecimento Aplicada ao Domínio de Gerenciamento de Falhas em Redes de Comunicação: Uma Abordagem Baseada em Modelo MARILZA ANTUNES DE LEMOS, MARCIO RILLO
- BT/PEE/9821 Uma Biblioteca de Métodos de Resolução de Problemas de Planejamento para Fornecer Apoio à Aquisição de Conhecimento LELIANE NUNES DE BARROS, MARCIO RILLO
- BT/PEE/9822 Um Estudo de Técnicas de Aprendizado por Reforço Livre de Modelo Aplicação ao Pêndulo Invertido SÉRGIO RIBEIRO AUGUSTO, ADEMAR FERREIRA
- BT/PEE/9823 Identificação de Sistemas Dinâmicos com Redes Neurais FRANCISCO CARLOS PONS, CLÁUDIO GARCIA
- BT/PEE/9824 Comparison between Single and Double Langmuir Probe Techniques for Analysis of Inductively Coupled Plamas RAUL M. DE CASTRO, GIUSEPPE A. CIRINO, PATRICK VERDONCK, HOMERO S. MACIEL, MARCOS MASSI, MARCELO B. PISANI, RONALDO D. MANSANO
- BT/PEE/9825 DECMEF: Um Sistema de Decomposição Aplicada à Síntese de Máquinas de Estados Finitos CARLOS HUMBERTO LLANOS QUINTERO, MARIUS STRUM
- BT/PEE/9826 Controladores Preditivos Através de Desigualdade Matriciais Lineares RENATO C. BARÃO, RICARDO P. MARQUES, OSWALDO L. V. COSTA
- BT/PEE/9827 Parametrization of all H2 Optimal Output Feedback Controllers JOÃO YOSHIYUKI ISHIHARA, ROBERTO MOURA SALES
- BT/PEE/9901 Digital Equalization Using Time Delay Neural Network (TDNN) MARIO ANDRÉS VERGARA ESCOBAR, EUVALDO F. CABRAL JR.
- BT/PEE/9902 Simulação e Análise Estrutural do Modelo de Deposição da Publicação ICRP 66 JOAQUIM CARLOS SANCHES CARDOSO, JOSÉ CARLOS T. DE BARROS MOARAES
- BT/PEE/9903 Modelamento e Ajuste por Regra Sub-Ótica de Maximização da Informação da Mútua de um Sistema Reconhecedor de Palavras Isoladas, Independente do Falante, para Ambientes Adversos, com Redundância de Informação MÁRIO MINAMI, IVANDRO SANCHES
- BT/PEE/9904 Modelagem Matemática e Controle Multivariável do Tanque de Contato Empregado no Processo de Lixiviação dos Minerais Niqueliferos DANIEL GUZMÂN DEL RÍO, CLAUDIO GARCIA
- BT/PEE/9905 Avaliação de Transdutores para Análise Metabólica Humana HENRIQUE TAKACHI MORIYA, JOSÉ CARLOS T. DE BARROS MORAES
- BT/PEE/9906 Estudo da Aplicação do Método TLM-2D à Análise de Campos Eletromagnéticos MARCO ANTONIO MATHIAS, JORGE M. JANISZEWSKI

- BT/PEE/9907 Comportamento Transitório de Campos Eletromagnéticos em Meios Condutores: Simulação Computacional Eficiente por Diferenças Finitas no Domínio do Tempo ALEXANDRE AUGUSTO OTTATI NOGUEIRA, JORGE MIECZYSLAW JANISZEWSKI
- BT/PEE/9908 H_2 and H_∞ Control for Maglev Vehicles ANSELMO BITTAR, ROBERTO MOURA SALES
- BT/PEE/9909 Amplificador Distribuído em GaAs 1 a 17 GHz CRISTIANE FERREIRA DE ARAÚJO, FATIMA SALETE CORRERA
- BT/PEE/9910 Modelo Não-Linear de MESFET para Simulação de Amplificadores de Alta Eficiência ANTONIO SANDRO VERRI, FATIMA SALETE CORRERA
- BT/PEE/9911 Projeto de um Sistema de Propulsão e Levitação Magnética com Dois Graus de Liberdade ALEXANDRE BRINCALEPE, FELIPE MIGUEL PAIT
- BT/PEE/9912 A New Technique to Obtain the MOS Gate Oxide Thickness and Electric Breakdown Field Distributions From Fowler-Nordheim Tunneling Current WILLIAN AURÉLIO NOGUEIRA, SEBASTIÃO GOMES DOS SANTOS FILHO
- BT/PEE/9913 Polarization Effects on the Raman and Photoluminescence Spectra of Porous Silicon Layers WALTER JAIMES SALCEDO, FRANCISCO JAVIER RAMIREZ FERNANDEZ
- BT/PEE/9914 Aproximação Gaussiana Melhorada Aplicada na Análise de um Método de Aquisição em Dois Estágios para Sistemas DS/CDMA – IVAN ROBERTO SANTANA CASELLA, PAUL JEAN ETIENNE JESZENSKY
- BT/PEE/9915 Simulação e Análise de Soluções de Comunicação entre Sub-Redes IP sobre ATM MARCELO ZANONI SANTOS, JOÃO ANTONIO ZUFFO
- BT/PEE/9916 Uma Nova Abordagem para a Análise Computacional de Movimento RAMONA M. STRAUBE, JOÃO ANTONIO ZUFFO
- BT/PEE/9917 Caches Remotos e Prefetching em Sistemas Multiprocessadores de Alto Desempenho Considerações Arquiteturais EDWARD DAVID MORENO, SERGIO TAKEO KOFUJI
- BT/PEE/9918 Um Modelo de Referência para o Controle do Processo de Lodo Ativado OSCAR A. ZANABRIA SOTOMAYOR, SONG WON PARK, CLAUDIO GARCIA
- BT/PEE/9919 Identificação Não-Linear de um Processo de Neutralização de pH Multivariável Utilizando Modelos Narmax Polinomiais com Tempo Morto – ROSIMEIRE APARECIDA JERÔNIMO, CLAUDIO GARCIA
- BT/PEE/9920 Avaliação do U-Net em Clusters com Rede Myrinet PAULO A. GEROMEL, SERGIO T. KOFUJI
- BT/PEE/9921 Implementação de Finos Diafragmas em Lâminas de Silício Monocristalino, Altamente Dopadas com Boro, Visando Fabricação de Microsensores de Pressão CMOS Utilizando Pós-Processamento HUMBER FURLAN, EDGAR R. CHARRY
- BT/PEE/9922 A5GHz Continuous Time Sigma-Delta Modulador Implemented in 04μm InGaP/InGaAs A. OLMOS, E. CHERRY, M. NIHEI, Y. WATANABE